

кой решетке исходного соединения. Заметное уширение линий в спектрах образцов, полученных после кратковременного синтеза, свидетельствует о наличии распределения квадрупольного расщепления. Это распределение может быть объяснено значительной степенью беспорядка в кислородных слоях, содержащих дефекты.

Для оловозамещенных образцов величина изомерного сдвига свидетельствует о близости электронной конфигурации олова к Sn^{4+} . Отсутствие заметного квадрупольного расщепления позволяет предположить, что при замещении ионы олова занимают позиции ионов бария или иттрия.

Для изотопа ^{151}Eu величина изомерного сдвига близка к значению сдвига в Eu_2O_3 , что говорит о трехвалентном состоянии ионов европия в данном соединении.

Л и т е р а т у р а

- [1] Wu M. K., Ashburn J. R., Torng C. J. et al. Phys. Rev. Lett., 1987, vol. 58, N 9, p. 908—910.
- [2] Cava R. J., Batlogg B., van Dover R. B. et al. Phys. Rev. Lett., 1987, vol. 58, N 16, p. 1676—1679.
- [3] Beech F., Miraglia S., Santoro A., Roth R. S. Phys. Rev., 1987, vol. B35, N 16, p. 8778—8781.

Казанский государственный
университет им. В. И. Ульянова-Ленина
Казань

Поступило в Редакцию
14 декабря 1987 г.

УДК 548.0 : 539.8

Физика твердого тела, том 30, в. 9, 1988
Solid State Physics, vol. 30, № 9, 1988

СУПЕРИОННАЯ ПРОВОДИМОСТЬ И ФАЗОВАЯ $P-T$ -ДИАГРАММА RbHSO_4

B. V. Синицын, Е. Г. Понятовский, А. И. Баранов,
Л. А. Шувалов, Н. И. Боброва

При атмосферном давлении в RbHSO_4 (RHS) известен один структурный фазовый переход из параэлектрической фазы I (пр. гр. $P2_1/c$) в сегнетоэлектрическую фазу II (пр. гр. P_c) [¹⁻³]. Структурный мотив фаз I и II такой же, как и у всего семейства MeHAO_4 (где Me=Cs, NH_4 , Rb; A=S, Se): тетраэдрические сульфатные группы связаны между собой водородными связями, образуя одномерные цепочки. В обеих фазах RHS протоны упорядочены и занимают нецентральные позиции на водородных связях.

Известно, что в ряде кристаллов семейства MeHAO_4 (например, в CsHSO_4 , CsHSeO_4) при атмосферном давлении плавлению предшествует фазовый переход в состояние с высокой протонной проводимостью, который не достигается в RHS [⁴⁻⁶]. Гидростатическое давление практически не влияет на температуру этого суперионного перехода, тогда как температура плавления резко возрастает с давлением [^{7, 8}]. Поэтому логично было предположить, что в RHS суперионная фаза появится при некотором гидростатическом давлении. Веским аргументом в пользу такого предположения явилось также обнаружение у RHS, как и у CsHSO_4 (CHS), перехода в поверхностном слое, причем у CHS такой переход предшествует по температуре объемному фазовому переходу в суперионное состояние [⁹].

В настоящей работе исследована область фазовой $P-T$ -диаграммы RHS в интервале температур 290 ± 520 К при гидростатических давлениях до 2.0 ГПа. (Низкотемпературная область фазовой $P-T$ -диаграммы RHS была изучена ранее в [³]).

Измерения изотермических и изобарических зависимостей проводимости σ осуществлялись на монокристаллических образцах a , b - и c -срезов RHS на частоте 1 кГц (мостом переменного тока) при $\sigma \leq 10^{-6}$ Ом $^{-1}$ и на частоте 300 кГц (измерителем полных сопротивлений) при более высоких проводимостях. На образцы размерами $\sim 0.5 \times 5 \times 5$ мм наносились электроды из серебряной пасты фирмы «Дегусса». Для выделения компоненты объемной проводимости $G_v = S/d$ из полной проводимости G_t измерения проводились по схеме с охранным кольцом. Температура образца стабилизировалась с точностью $\pm 0.3^\circ$. Фазовые переходы фиксировались по аномалиям проводимости и методом ДТА.

На рис. 1 приведена фазовая $P-T$ -диаграмма кристалла RHS. Помимо тройной точки с координатами $P_1 = 0.69$ ГПа и $T_1 = 73 \pm 3$ °C, обнаруженной в [3], зафиксированы следующие равновесия: жидкость—фаза I—фаза IV с координатами $P_2 = 0.28 \pm 0.02$ ГПа и $T_2 = 222 \pm 8$ °C, фаза I—фаза III—фаза IV с координатами $P_3 = 0.60 \pm 0.02$ ГПа и $T_3 = 193 \pm 5$ °C. Температуры переходов I—IV, III—IV и жидкость—IV меняются с давлением линейно с наклонами: $dT_{ж-IV}/dP \approx 200$, $dT_{I-IV}/dP = -80 \pm 15$, $dT_{III-IV}/dP = 18 \pm 7$ град/ГПа. Все фазовые переходы обратимы и, за исключением сегнетоэлектрического перехода I—II, являются переходами I рода с характерными температурными гистерезисами и гистерезисами по давлению.

Как видно из рис. 1, зависимость температуры плавления $T_t = f(P)$ в области перехода фаза I—жидкость, определенная методом ДТА, является существенно нелинейной. В экстраполяции кривой $T_t = f(P)$ члена, пропорционального P , нет, так как $(dT_t/dP)_{P=0} = 0$; поэтому ограничиваясь квадратичным членом в разложении по P , получим

$$T_t(P) = T_t(0) + K P^2, \quad (1)$$

где $T_t(0) = 203$ К и $K = 170$ град/ГПа 2 .

Изменения при плавлении объема $\Delta V_t(P) = V_\infty(P) - V_1(P)$ и энтропии $\Delta S_t(P) = S_\infty(P) - S_1(P)$ в общем случае являются функциями давления, но нетрудно увидеть, что при $P = 0$ $\Delta V_t(0) = V_\infty(0) - V_1(0) = 0$. В связи с этим зависимость $\Delta V_t(P)$ в первом приближении имеет вид

$$\Delta V_t(P) = V_1(0)(\chi_1 - \chi_\infty)P, \quad (2)$$

где χ_1 — сжимаемость фазы, χ_∞ — сжимаемость расплава RHS. При плавлении $\Delta S_t > 0$ и знак производной dT_t/dP определяется знаком разности $\Delta \chi = \chi_1 - \chi_\infty$. Таким образом, из экспериментальных данных и выражения (2) следует необычный факт, что в RHS сжимаемость твердой фазы I больше, чем у расплава. В работах [9, 10] отмечалось, что в некоторых кристаллах гидросульфатов имеются своеобразные эффекты предплавления, а сам расплав характеризуется большой вязкостью вблизи T_t . В частности, в RHS при нагревании на температурных зависимостях поверхностной проводимости G_s наблюдаются две сильные аномалии при $T_{s_1} = 161$ и $T_{s_2} = 182$ °C. Резкое увеличение G_s при T_{s_2} (рис. 2) сопровождается появлением макроскопической жидкой пленки на поверхности образца, причем толщина этой пленки несколько возрастает при дальнейшем повышении температуры. Согласно данным термогравиметрии, в RHS при $T \geq T_{s_2}$

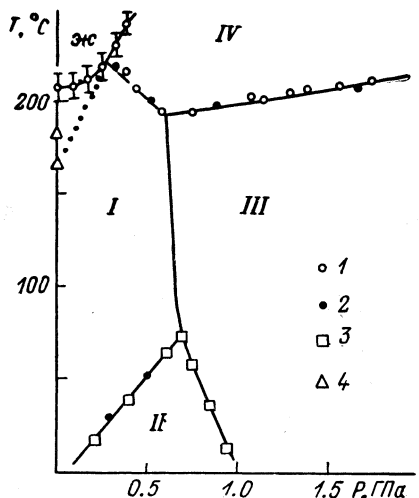


Рис. 1. Фазовая $P-T$ -диаграмма кристалла RbHSO₄.

1 — ДТА, 2 — проводимость, 3 — [3], 4 — [4]. Штрихи — экстраполяция T_{t_1} по данным [11].

наблюдается незначительная ($\leq 1\%$) потеря веса. Поэтому возникновение жидкой пленки может быть связано с некоторой деструкцией соединения в поверхностном слое и образованием эвтектического состава. Тем не менее основная масса кристалла ($\approx 99\%$) плавится без нарушения стехиометрии. С другой стороны, известно, что в кристаллах с сетками ковалентных связей (например, кварце) наблюдается значительный перегрев кристаллической фазы [10]. Так как в структуре RHS анионы SO_4^{2-} соединены сильными водородными связями [2], то аналогичные кварцу эффекты перегрева могут наблюдаться и в этом кристалле, причем очевидно, что кинетика плавления будет зависеть от давления. Поэтому необычная зависимость

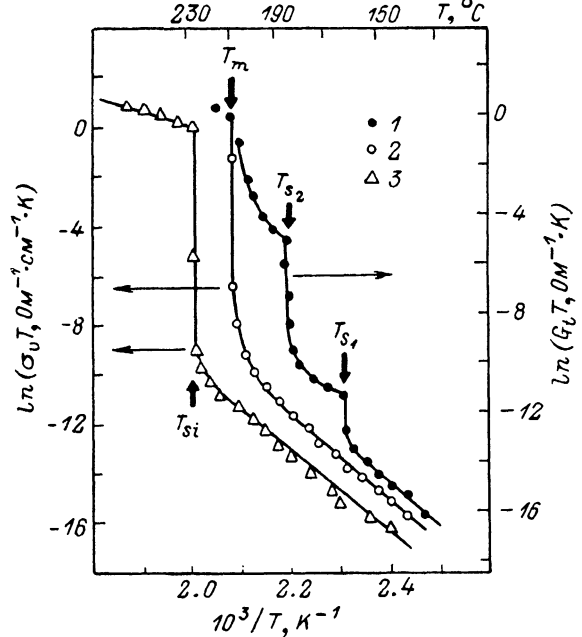


Рис. 2. Температурные зависимости полной G_i и удельной объемной σ_v проводимости кристалла RbHSO_4 .

1, 2 — атмосферное давление; 3 — $P=0.31 \pm 0.02$ ГПа. T_m — температура плавления; T_{s_1} — температура суперионного перехода; T_{s_2} — температура, при которой на поверхности образуется жидккая макроскопическая пленка.

мость $T_t(P)$ для RHS, возможно, обусловлена не аномальным поведением сжимаемости при плавлении, а зависимостью кинетики плавления от давления. В этой связи следует заметить, что определение T_t таким динамическим методом, как ДТА, в данном случае не является корректным, так как определяется неравновесная температура плавления.

Аномалия G_s при $T_{s_1}=161^\circ\text{C}$ связана с фазовым переходом в поверхностном слое RHS [9]. Фазовый переход при этой температуре был также зафиксирован методом сканирующей калориметрии на мелкодисперсных порошках RHS [11]. Зависимость $T_{s_1}(P)$ по данным [11] ($dT_{s_1}/dP \approx 200$ град/ГПа) показана на рис. 1 штрихом.

Изучение объемной проводимости σ_v показало, что в фазах I и III ее температурная зависимость имеет аррениусовский характер для всех направлений ($i=a, b, c$)

$$\sigma_v^i = A^i / T \exp(-H_a^i / T). \quad (3)$$

Значения предэкспоненциального множителя $A^a=1.99 \cdot 10^8 \text{ Ом}^{-1} \cdot \text{см}^{-1} \times \text{К}$ и энталпии активации $H_a^a=1.25 \pm 0.05$ эВ являются характерными для собственной протонной проводимости группы кристаллов с водородными связями [12].

При фазовых переходах I—IV и III—IV проводимость σ_v изменяется скачком более чем на четыре порядка, достигая в фазе IV значений

$\sim 10^{-3}$ Ом $^{-1} \cdot$ см $^{-1}$ (рис. 2). Характерно, что проводимость расплава лишь незначительно выше проводимости суперионной фазы IV (рис. 2). В этой фазе предэкспонента $A = 0.8 \cdot 10^3$ Ом $^{-1} \cdot$ см $^{-1}$. К и энталпия активации $H_a = 0.26 \pm 0.05$ эВ имеют значения, типичные для суперионных фаз других кристаллов группы MeHAO₄ [6].

Таким образом, гидростатическое давление $P \geq 0.29$ ГПа индуцирует в RHS суперионную фазу IV, температурная область стабильности которой расширяется при повышении давления.

Незначительное различие проводимости расплава и суперионной фазы IV указывает на то, что транспортные характеристики протонов существенно не зависят от наличия дальнего трансляционного порядка в системе тяжелых ионов. С другой стороны, из анализа фазовой $P-T$ -диаграммы RHS следует, что объем расплава вблизи тройной точки на 10–20 % больше объема фазы I, а объем суперионной фазы на 2 % меньше объема фазы I. Следовательно, можно предполагать, что динамическая сетка водородных связей принципиально не меняется при переходе из расплава в фазу IV, т. е. расплав является «квазикристаллическим». Этот вывод согласуется с обсуждаемой выше аномальной зависимостью $T_g(P)$ для этого кристалла.

Л и т е р а т у р а

- [1] Pepinsky R., Vedau K. Phys. Rev., 1960, vol. 117, N 6, p. 1502–1504.
- [2] Ashmore J. P., Petch H. E. Can. J. Phys., 1975, vol. 53, p. 2694–2702.
- [3] Gesi K., Ozawa K. J. Phys. Soc. Japan, 1973, v. 35, N 4, p. 1268–1269.
- [4] Баранов А. И., Шувалов Л. А., Щагина Н. М. Письма в ЖЭТФ, 1982, т. 36, № 11, с. 381–383.
- [5] Москович Ю. Н., Суховский А. А., Розанов О. В. ФТТ, 1984, т. 26, № 1, с. 38–43.
- [6] Baranov A. I., Fedosyk R. M., Schagina N. M., Shuvalova L. A. Ferroelectric Lett., 1984, vol. 2, p. 25–28.
- [7] Понятовский Е. Г., Ращупкин В. И., Синицын В. В. и др. Письма в ЖЭТФ, 1985, т. 41, № 3, с. 114–116.
- [8] Баранов А. И., Понятовский Е. Г., Синицын В. В. и др. Кристаллография, 1985, т. 30, № 6, с. 1121–1123.
- [9] Баранов А. И., Синицын В. В., Понятовский Е. Г., Шувалов Л. А. Письма в ЖЭТФ, 1986, т. 44, № 4, с. 186–189.
- [10] Ubbelohde A. R. Melting and Crystal Structure. Clarendon Press, Oxford, 1965.
- [11] Baranowski B., Friesel M., Lunden A. Z. Naturforsch., 1986, vol. 41a, p. 981–982.
- [12] Classer L. Chem. Rev., 1975, vol. 75, p. 21–33.

Институт физики твердого тела АН СССР
Черноголовка
Московская область

Поступило в Редакцию
18 февраля 1988 г.

УДК 539.213.1 : 548.4

Физика твердого тела, том 30, в. 9, 1988
Solid State Physics, vol. 30, № 9, 1988

ОБРАЗОВАНИЕ ПОЛОС СДВИГА ПРИ ЛОКАЛЬНОМ НАГРУЖЕНИИ АМОРФНОЙ СРЕДЫ

B. C. Бойко, Л. Ф. Кривенко, О. В. Черный, А. М. Бокда

Характерной особенностью пластической деформации аморфных тел в области низких (по сравнению с температурой кристаллизации) температур является образование полос сдвига (см., например, [1–5]). Их появление существенно изменяет свойства материала. Полосы сдвига обычно формируются при сжатии, изгибе, прокатке. Стандартные механические испытания аморфных материалов сопряжены с определенными трудностями (подробнее см. [5]). Метод локального нагружения кажется весьма перспективным и позволяет надеяться на продвижение в области понима-